

Última actualización de la información: Enero 2025

Configuraciones productos: RN80.R9

RN80.R9: Luminaria de superficie - Ø172 - Luz general - Champagne/Trasparente/Negro Transparente



Código producto

RN80.R9: Luminaria de superficie - Ø172 - Luz general - Champagne/Trasparente/Negro Transparente

Descripción

Luminaria para iluminación directa - instalación en techo. Lámpara LED de alto índice de rendimiento cromático - emisión de altas prestaciones con óptimos niveles de eficiencia para iluminación general. Grupo emisor en PMMA con reflector prismatizado transparente combinado con recuperador de flujo y apantallamiento difusor - una tapa interior de policarbonato caracteriza a nivel visual el grupo óptico. Estructura exterior del cuerpo luminoso de doble efecto en aluminio torneado - acabado con pintura uniforme o combinada. El práctico sistema de fijación de bayoneta permite separar las dos secciones para realizar las operaciones de cableado - un cable de retención de acero inoxidable previene el riesgo de caída de las dos secciones. Unidad de alimentación regulable DALI integrada en el cuerpo luminoso. El cuerpo de iluminación en versión PURE se diferencia por el anillo inferior exterior traslúcido texturizado.

Instalación

instalación en el techo directamente en la estructura dividida en dos secciones gracias a un sistema de bayoneta.

Colores

Champagne/Trasparente/Negro Transparente (R9)

Peso (Kg)

1.09

Montaje

en el techo

Equipo

Controlador regulable DALI integrado - regleta de conexión en la sección superior de la estructura.

Se conforma con EN60598-1 y regulaciones pertinentes



Datos técnicos

| | | | |
|---|-------|--------------------------------------|--------|
| Im de sistema: | 2262 | CRI (mínimo): | 90 |
| W de sistema: | 21 | Temperatura de color [K]: | 3000 |
| Im de la fuente: | 2900 | MacAdam Step: | 2 |
| W de la fuente: | 21 | Código de lámpara: | LED |
| Eficiencia luminosa (lm/W, valor del sistema): | 107.7 | Número de lámparas por grupo óptico: | 1 |
| Im en modo emergencia: | - | Código ZVEI: | LED |
| Flujo total de emisión en un ángulo de 90° o superior [Lm]: | 24 | Número de grupos ópticos: | 1 |
| Light Output Ratio (L.O.R.) [%]: | 78 | Control: | DALI-2 |

Polar

| | | | | |
|--|--|-----|------|------|
| | CIE nL 0.78 84-99-100-99-78 UGR 16.1-16.1 DIN A. 62 UTE 0.77B+0.01T F*1=837 F*1+F*2=987 F*1+F*2+F*3=997 CIBSE LG3 L<1500 cd/m² at 65° UGR<19 L<1500 cd/mq @ 65° | | | |
| | Lux | | | |
| | h | d | Em | Emax |
| | 1 | 1.6 | 1088 | 1400 |
| | 2 | 3.2 | 272 | 350 |
| | 3 | 4.8 | 121 | 156 |
| | 4 | 6.4 | 68 | 88 |

Coefficientes de uso

| R | 77 | 75 | 73 | 71 | 55 | 53 | 33 | 00 | DRR |
|------|----|----|----|----|----|----|----|----|-----|
| K0.8 | 64 | 59 | 56 | 53 | 58 | 55 | 54 | 51 | 66 |
| 1.0 | 68 | 64 | 60 | 58 | 63 | 60 | 59 | 56 | 72 |
| 1.5 | 74 | 70 | 68 | 65 | 69 | 67 | 66 | 63 | 81 |
| 2.0 | 77 | 74 | 72 | 70 | 73 | 71 | 70 | 67 | 87 |
| 2.5 | 79 | 77 | 75 | 73 | 75 | 74 | 73 | 70 | 91 |
| 3.0 | 80 | 78 | 77 | 75 | 77 | 75 | 74 | 72 | 93 |
| 4.0 | 81 | 80 | 79 | 78 | 78 | 77 | 76 | 73 | 95 |
| 5.0 | 82 | 81 | 80 | 79 | 79 | 78 | 77 | 74 | 96 |

Curva límite de luminancia

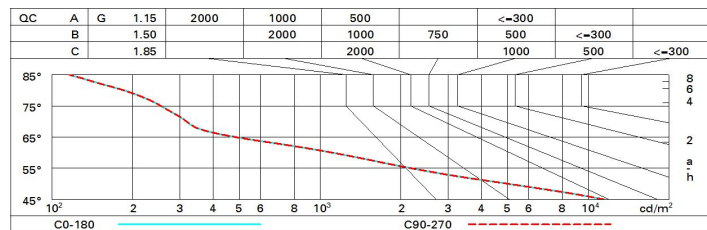


Diagrama UGR

| Corrected UGR values (at 2900 lm bare lamp luminous flux) | | | | | | | | | | | |
|--|------|---------------------|------|------|------|------|-------------------|------|------|------|------|
| Riflect.: ceil/cav walls work pl. Room dim x y | | 0.70 | 0.70 | 0.50 | 0.50 | 0.30 | 0.70 | 0.70 | 0.50 | 0.50 | 0.30 |
| | | 0.50 | 0.30 | 0.50 | 0.30 | 0.30 | 0.50 | 0.30 | 0.50 | 0.30 | 0.30 |
| | | 0.20 | 0.20 | 0.20 | 0.20 | 0.20 | 0.20 | 0.20 | 0.20 | 0.20 | 0.20 |
| | | viewed crosswise | | | | | viewed endwise | | | | |
| 2H | 2H | 16.6 | 17.4 | 16.9 | 17.7 | 17.9 | 16.6 | 17.4 | 16.9 | 17.7 | 17.9 |
| | 3H | 16.5 | 17.2 | 16.8 | 17.5 | 17.8 | 16.5 | 17.2 | 16.9 | 17.5 | 17.8 |
| | 4H | 16.4 | 17.1 | 16.8 | 17.4 | 17.7 | 16.4 | 17.1 | 16.8 | 17.4 | 17.7 |
| | 6H | 16.4 | 16.9 | 16.7 | 17.3 | 17.6 | 16.4 | 16.9 | 16.7 | 17.3 | 17.6 |
| | 8H | 16.3 | 16.9 | 16.7 | 17.2 | 17.6 | 16.3 | 16.9 | 16.7 | 17.2 | 17.6 |
| | 12H | 16.3 | 16.8 | 16.7 | 17.2 | 17.6 | 16.3 | 16.8 | 16.7 | 17.2 | 17.6 |
| 4H | 2H | 16.4 | 17.1 | 16.8 | 17.4 | 17.7 | 16.4 | 17.1 | 16.8 | 17.4 | 17.7 |
| | 3H | 16.3 | 16.8 | 16.7 | 17.2 | 17.6 | 16.3 | 16.8 | 16.7 | 17.2 | 17.6 |
| | 4H | 16.2 | 16.7 | 16.6 | 17.1 | 17.5 | 16.2 | 16.7 | 16.6 | 17.1 | 17.5 |
| | 6H | 16.1 | 16.6 | 16.6 | 17.0 | 17.4 | 16.1 | 16.5 | 16.6 | 17.0 | 17.4 |
| | 8H | 16.1 | 16.5 | 16.6 | 16.9 | 17.4 | 16.1 | 16.5 | 16.6 | 16.9 | 17.4 |
| | 12H | 16.1 | 16.4 | 16.5 | 16.8 | 17.3 | 16.0 | 16.4 | 16.5 | 16.8 | 17.3 |
| 8H | 4H | 16.1 | 16.5 | 16.6 | 16.9 | 17.4 | 16.1 | 16.5 | 16.6 | 16.9 | 17.4 |
| | 6H | 16.0 | 16.3 | 16.5 | 16.8 | 17.3 | 16.0 | 16.3 | 16.5 | 16.8 | 17.3 |
| | 8H | 16.0 | 16.2 | 16.5 | 16.7 | 17.2 | 16.0 | 16.2 | 16.5 | 16.7 | 17.2 |
| | 12H | 15.9 | 16.1 | 16.4 | 16.7 | 17.2 | 15.9 | 16.1 | 16.4 | 16.6 | 17.2 |
| 12H | 4H | 16.0 | 16.4 | 16.5 | 16.8 | 17.3 | 16.1 | 16.4 | 16.5 | 16.8 | 17.3 |
| | 6H | 16.0 | 16.2 | 16.5 | 16.7 | 17.2 | 16.0 | 16.2 | 16.5 | 16.7 | 17.2 |
| | 8H | 15.9 | 16.1 | 16.4 | 16.6 | 17.2 | 15.9 | 16.1 | 16.4 | 16.7 | 17.2 |
| Variations with the observer position at spacing: | | | | | | | | | | | |
| S = | 1.0H | 2.8 / -7.6 | | | | | 2.8 / -7.6 | | | | |
| | 1.5H | 5.3 / -11.8 | | | | | 5.3 / -11.8 | | | | |
| | 2.0H | 7.3 / -13.8 | | | | | 7.3 / -13.8 | | | | |